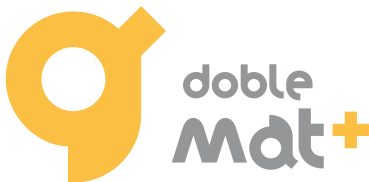


## Tema 8: Elementos finitos unidimensionales

### Resolución numérica de ecuaciones en derivadas parciales

Alicia Cordero, Juan R. Torregrosa



- 1 Conceptos básicos
- 2 Formulación variacional de un problema de frontera
- 3 Método de Rayleigh-Ritz en una variable
  - Funciones base lineales
  - Funciones base no lineales
- 4 Referencias

## ¿Qué es el método de elementos finitos?

El **Método de Elementos Finitos** (MEF), consiste en reemplazar un conjunto de ecuaciones diferenciales, por un conjunto equivalente, pero aproximado, de ecuaciones algebraicas, donde cada una de las variables es evaluada en los nodos. En la evaluación de las ecuaciones algebraicas pueden usarse diferentes tipos de aproximaciones, y los métodos de elementos finitos se clasifican de acuerdo al método usado

- El método directo
- El método variacional
- El método de los residuos

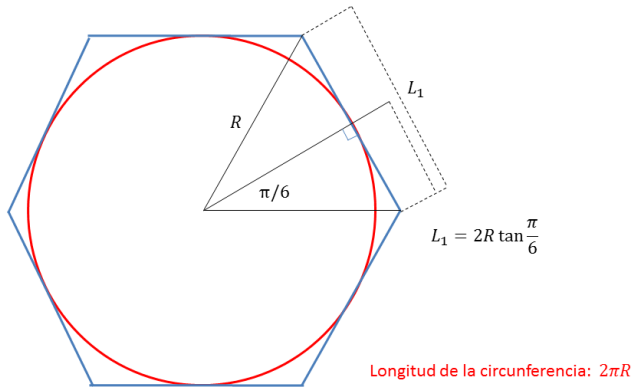
Con independencia de la naturaleza física del problema, el MEF requiere de los siguientes pasos:

1. Definición del problema y su dominio
2. Discretización del dominio en elementos finitos
3. Ecuaciones de los elementos
4. Formulación del problema
5. Construcción de las funciones de aproximación de cada elemento
6. Ensamblaje de las ecuaciones de los elementos
7. Solución del conjunto de ecuaciones simultáneas
8. Interpretación de resultados

## Ejemplo: Determinación del valor de $\pi$

Queremos **determinar el valor de  $\pi$** . Consideramos un círculo de radio  $R$  inscrito en un polígono regular de  $n$  lados (en la figura  $n = 6$ ).

Si calculamos la longitud de cada lado del polígono, su **perímetro será una aproximación de la longitud de la circunferencia**, a partir de la cual podremos estimar el valor de  $\pi$



- Discretización del dominio.

Región continua: la circunferencia;

Elementos finitos: los lados del polígono

Todos los elementos finitos tienen el mismo tamaño (no siempre es así): **mallado uniforme**

- Ecuaciones de los elementos.

A partir del triángulo rectángulo:  $L_e = 2R \tan \frac{\pi}{n}$

- Ensamblaje de las ecuaciones

$$L(n) = \sum_{e=1}^n L_e = 2nR \tan \frac{\pi}{n}.$$

- Convergencia de la solución

$$\lim_{n \rightarrow \infty} \frac{L(n)}{2R} = \lim_{n \rightarrow \infty} n \tan \frac{\pi}{n} = \lim_{y \rightarrow 0} \pi \frac{1}{y} \tan y = \pi$$

Consideremos el problema de frontera que modeliza la deflexión  $y(x)$  de una viga que soporta una serie de fuerzas:

## Deflexión

$$-\frac{d}{dx} \left( p(x) \frac{dy}{dx} \right) + q(x)y = f(x), \quad x \in [0, 1],$$

con las condiciones de contorno  $y(0) = y(1) = 0$

Supondremos ciertas condiciones que garantizan la existencia y unicidad de solución del problema:

$$p \in C^1[0, 1], \quad q, f \in C[0, 1]; \quad p(x) > 0, q(x) \geq 0, \forall x \in [0, 1]$$

Una **formulación variacional** es la que transforma el problema de frontera en uno equivalente que consiste en minimizar un determinado operador funcional. Para este problema de frontera su formulación variacional sería:

Sea  $p \in \mathcal{C}^1[0, 1]$ ,  $q, f \in \mathcal{C}[0, 1]$  y

$$p(x) > 0, q(x) \geq 0, \forall x \in [0, 1].$$

La función  $y(x) \in \mathcal{C}_0^2[0, 1]$  es la única solución de la ecuación diferencial

$$-\frac{d}{dx} \left( p(x) \frac{dy}{dx} \right) + q(x)y = f(x), \quad x \in [0, 1],$$

si y sólo si

$y(x)$  es la única función en  $\mathcal{C}_0^2[0, 1]$  que minimiza el operador

$$I : \mathcal{C}_0^2[0, 1] \rightarrow \mathbb{R}$$

definido

$$I(u) = \int_0^1 (p(x)[u'(x)]^2 + q(x)[u(x)]^2 - 2f(x)u(x)) dx.$$



Minimizamos el operador  $I$ , no sobre todo el espacio  $\mathcal{C}_0^2[0, 1]$  si no sobre un espacio de dimensión finita  $\mathcal{H}$ , generado por las **funciones base**  $\{\phi_1(x), \phi_2(x), \dots, \phi_n(x)\}$ , funciones que deben satisfacer

- son linealmente independientes
- $\phi_i(0) = \phi_i(1) = 0, \quad i = 1, 2, \dots, n$

Desde luego,

$$\phi \in \mathcal{H} \Leftrightarrow \phi(x) = c_1\phi_1(x) + c_2\phi_2(x) + \dots + c_n\phi_n(x),$$

donde  $c_1, c_2, \dots, c_n$  son números reales.

Si encontramos constantes  $c_1, c_2, \dots, c_n$  que minimizan

$$I \left( \sum_{i=1}^n c_i \phi_i(x) \right)$$

tendremos una **aproximación**  $\phi(x)$  de la solución  $y(x)$  del problema de frontera

Con las funciones base fijadas

$$I(\phi(x)) = \int_0^1 (p(x)\phi'(x)^2 + q(x)\phi(x)^2 - 2f(x)\phi(x)) dx$$

es una función de  $c_1, c_2, \dots, c_n$

¿Cómo encontramos el mínimo de una función de  $n$  variables?

$$\nabla I(\phi(x)) = 0 \Leftrightarrow \frac{\partial I(\phi(x))}{\partial c_j} = 0, \quad j = 1, 2, \dots, n$$

$$\sum_{i=1}^n \left( \int_0^1 (p(x)\phi'_i(x)\phi'_j(x) + q(x)\phi_i(x)\phi_j(x)) dx \right) c_i - \int_0^1 f(x)\phi_j(x) dx = 0, \quad j = 1, 2, \dots, n$$

Debemos resolver un sistema lineal, simétrico  $Ac = b$ , donde  $A = (a_{ij})$ ,  
 $b = [b_1, b_2, \dots, b_n]^T$ ,

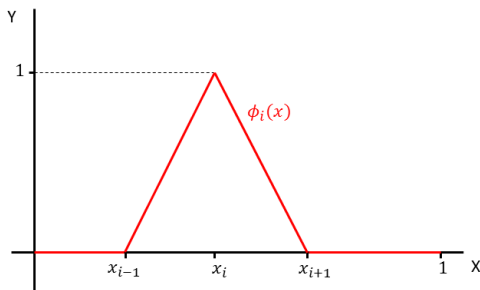
$$a_{ij} = \int_0^1 (p(x)\phi'_i(x)\phi'_j(x) + q(x)\phi_i(x)\phi_j(x)) dx, \quad i, j = 1, 2, \dots, n$$

$$b_i = \int_0^1 f(x)\phi_i(x) dx, \quad i = 1, 2, \dots, n$$

## Funciones base lineales a trozos

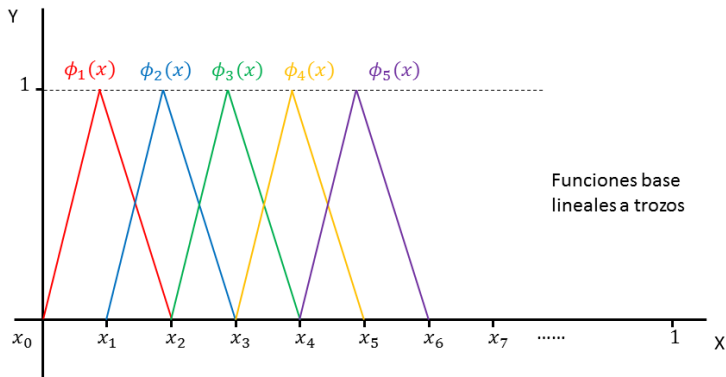
- Elegimos  $n$  puntos en el dominio  $[0, 1]$ ,  $0 = x_0 < x_1 < \dots < x_n < x_{n+1} = 1$ ,
- $h_i = x_{i+1} - x_i$ ,  $i = 0, 1, 2, \dots, n$
- Definimos las funciones base  $\{\phi_1(x), \phi_2(x), \dots, \phi_n(x)\}$

$$\phi_i(x) = \begin{cases} 0, & \text{si } 0 \leq x \leq x_{i-1} \\ \frac{x - x_{i-1}}{h_{i-1}} & \text{si } x_{i-1} \leq x \leq x_i \\ \frac{x_{i+1} - x}{h_i} & \text{si } x_i \leq x \leq x_{i+1} \\ 0, & \text{si } x_{i+1} \leq x \leq 1 \end{cases}$$



## Funciones base lineales a trozos

- $\{\phi_1(x), \phi_2(x), \dots, \phi_n(x)\}$  linealmente independientes
- $\phi_i(x)\phi_j(x) = 0$ , para todo  $x \in [0, 1]$ , excepto para  $j = i - 1, j = i, j = i + 1$
- $\phi_i'(x)\phi_j'(x) = 0$ , para todo  $x \in [0, 1]$ , excepto para  $j = i - 1, j = i, j = i + 1$



## Sistema lineal con matriz tridiagonal

$$\begin{pmatrix} a_{11} & a_{12} & a_{13} & \cdots & 0 & 0 \\ a_{12} & a_{22} & a_{23} & \cdots & 0 & 0 \\ 0 & a_{23} & a_{33} & \cdots & 0 & 0 \\ \vdots & \vdots & \vdots & & \vdots & \vdots \\ 0 & 0 & 0 & \cdots & a_{n-1n-1} & a_{n-1n} \\ 0 & 0 & 0 & \cdots & a_{n-1n} & a_{nn} \end{pmatrix} \begin{pmatrix} c_1 \\ c_2 \\ c_3 \\ \vdots \\ c_{n-1} \\ c_n \end{pmatrix} = \begin{pmatrix} b_1 \\ b_2 \\ b_3 \\ \vdots \\ b_{n-1} \\ b_n \end{pmatrix},$$

donde

$$\begin{aligned} a_{ii} &= \int_{x_{i-1}}^{x_i} \left( \frac{1}{h_{i-1}} \right)^2 p(x) dx + \int_{x_i}^{x_{i+1}} \left( \frac{-1}{h_{i-1}} \right)^2 p(x) dx \\ &\quad + \int_{x_{i-1}}^{x_i} \left( \frac{1}{h_{i-1}} \right)^2 (x - x_{i-1})^2 q(x) dx + \int_{x_i}^{x_{i+1}} \left( \frac{1}{h_i} \right)^2 (x_{i+1} - x)^2 q(x) dx \end{aligned}$$

$$a_{ii+1} = \int_{x_i}^{x_{i+1}} \left( -\frac{1}{h_i} \right)^2 p(x) dx + \int_{x_i}^{x_{i+1}} \left( \frac{1}{h_i} \right)^2 (x_{i+1} - x)(x - x_i) q(x) dx$$

$$b_i = \int_{x_{i-1}}^{x_i} \frac{1}{h_{i-1}} (x - x_{i-1}) f(x) dx + \int_{x_i}^{x_{i+1}} \frac{1}{h_i} (x_{i+1} - x) (f(x)) dx$$

Aparecen seis tipos de integrales a evaluar:

- $Q_{1i} = \left(\frac{1}{h_i}\right)^2 \int_{x_i}^{x_{i+1}} (x_{i+1} - x)(x - x_i)q(x)dx, i = 1, 2, \dots, n - 1$
- $Q_{2i} = \left(\frac{1}{h_{i-1}}\right)^2 \int_{x_{i-1}}^{x_i} (x - x_{i-1})^2 q(x)dx, i = 1, 2, \dots, n$
- $Q_{3i} = \left(\frac{1}{h_i}\right)^2 \int_{x_i}^{x_{i+1}} (x_{i+1} - x)^2 q(x)dx, i = 1, 2, \dots, n$
- $Q_{4i} = \left(\frac{1}{h_{i-1}}\right)^2 \int_{x_{i-1}}^{x_i} p(x)dx, i = 1, 2, \dots, n + 1$
- $Q_{5i} = \frac{1}{h_{i-1}} \int_{x_{i-1}}^{x_i} (x - x_{i-1})f(x)dx, i = 1, 2, \dots, n$
- $Q_{6i} = \frac{1}{h_i} \int_{x_i}^{x_{i+1}} (x_{i+1} - x)f(x)dx, i = 1, 2, \dots, n$

La **matriz**  $A$  y el **vector**  $b$  contienen los elementos:

$$a_{ii} = Q_{4i} + Q_{4i+1} + Q_{2i} + Q_{3i} \quad i = 1, 2, \dots, n$$

$$a_{ii+1} = -Q_{4i+1} + Q_{1i} \quad i = 1, 2, \dots, n - 1$$

$$b_i = Q_{5i} + Q_{6i} \quad i = 1, 2, \dots, n$$

- **ENTRADA** entero  $n \geq 1$ , puntos  $0 = x_0 < x_1 < \dots < x_n < x_{n+1} = 1$
- **SALIDA** coeficientes  $c_1, c_2, \dots, c_n$
- **Paso 1** Para  $i = 0, 1, 2, \dots, n$  tomar  $h_i = x_{i+1} - x_i$
- **Paso 2** Para  $i = 1, 2, \dots, n$  definir las funciones base  $\phi_1(x), \phi_2(x), \dots, \phi_n(x)$
- **Paso 3** Para  $i = 1, 2, \dots, n - 1$  calcular  $Q_{1i}, Q_{2i}, Q_{3i}, Q_{4i}, Q_{5i}, Q_{6i}$   
Calcular  $Q_{2n}, Q_{3n}, Q_{4n}, Q_{4n+1}, Q_{5n}, Q_{6n}$
- **Paso 4** Para  $i = 1, 2, \dots, n - 1$  calcular
$$\alpha_i = Q_{4i} + Q_{4i+1} + Q_{2i} + Q_{3i}$$
$$\beta_i = -Q_{4i+1} + Q_{1i}$$
$$d_i = Q_{5i} + Q_{6i}$$
- **Paso 5** Calcular  $\alpha_n = Q_{4n} + Q_{4n+1} + Q_{2n} + Q_{3n}$  y  $d_n = Q_{5n} + Q_{6n}$
- **Paso 6**  $c = \text{Crout}(\alpha, \beta, \beta, d)$
- **Paso 7** PARAR (Procedimiento terminado)

## Ejemplo

$$-y'' + \pi^2 y = 2\pi^2 \sin(\pi x), \quad x \in [0, 1], \quad y(0) = y(1) = 0$$

**Solución exacta**  $y(x) = \sin(\pi x)$

Tomamos  $h_i = h = 0.1$  de forma que  $x_i = 0.1i$ ,  $i = 0, 1, 2, \dots, 10$

Calculando **analíticamente** las diferentes integrales, el sistema lineal  $Ac = b$  tiene los elementos

$$\begin{aligned} a_{ii} &= 20 + \frac{\pi^2}{15} & i &= 1, 2, \dots, 9 \\ a_{ii+1} &= -10 + \frac{\pi^2}{60} & i &= 1, 2, \dots, 8 \\ b_i &= 40 \sin(0.1\pi i) [1 - \cos(0.1\pi)] & i &= 1, 2, \dots, 9 \end{aligned}$$

La **solución del sistema tridiagonal** que se obtiene es

$$\begin{aligned} c_1 &= 0.310287 & c_9 &= 0.310287 \\ c_2 &= 0.5902 & c_8 &= 0.5902 \\ c_3 &= 0.812341 & c_7 &= 0.812341 \\ c_4 &= 0.954964 & c_6 &= 0.954964 \\ c_5 &= 1.004109 \end{aligned}$$



Tabla de resultados

$x_i$	$\phi(x_i)$	$y(x_i)$	$ \phi(x_i) - y(x_i) $
0.1	0.310287	0.309017	0.00127
0.2	0.5902	0.587785	0.00242
0.3	0.812341	0.809017	0.00332
0.4	0.954964	0.951057	0.00391
0.5	1.004109	1.000000	0.00411
0.6	0.954964	0.951057	0.00391
0.7	0.812341	0.809017	0.00332
0.8	0.5902	0.587785	0.00242
0.9	0.310287	0.309017	0.00127

Table: Resultados numéricos

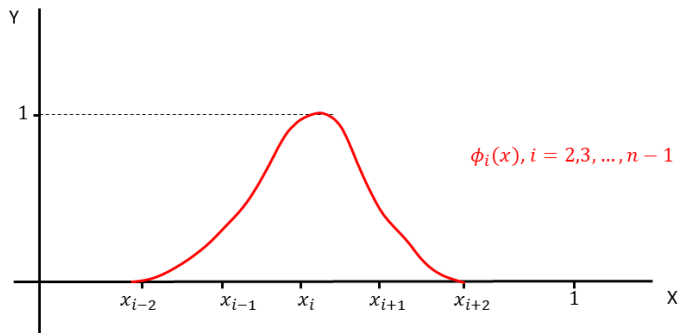
Con las hipótesis presentadas se puede demostrar que

$$|\phi(x) - y(x)| = O(h^2), \quad \forall x \in [0, 1].$$

Observemos que la solución aproximada  $\phi(x)$  es continua pero **no diferenciable**. Para obtener una solución aproximada diferenciable debemos modificar las funciones base.

Se obtienen a partir de los llamados **polinomios cúbicos a trozos**

$$S(x) = \begin{cases} 0, & x \leq -2 \\ \frac{1}{4}[(2-x)^3 - 4(1-x)^3 - 6x^3 + 4(1+x)^3], & -2 < x \leq -1 \\ \frac{1}{4}[(2-x)^3 - 4(1-x)^3 - 6x^3], & -1 < x \leq 0 \\ \frac{1}{4}[(2-x)^3 - 4(1-x)^3], & 0 < x \leq 1 \\ \frac{1}{4}(2-x)^3, & 1 < x \leq 2 \\ 0, & 2 < x \end{cases}$$



Elegimos  $n$  puntos en el dominio  $[0, 1]$

$$h = \frac{1}{n+1}, \quad x_i = ih, \quad i = 0, 1, 2, \dots, n, n+1$$

Definimos las **funciones base**

$$\phi_i(x) = S\left(\frac{x - x_i}{h}\right), \quad i = 2, 3, \dots, n-1$$

$$\phi_0(x) = S\left(\frac{x}{h}\right) - 4S\left(\frac{x+h}{h}\right),$$

$$\phi_1(x) = S\left(\frac{x-h}{h}\right) - S\left(\frac{x+h}{h}\right)$$

$$\phi_n(x) = S\left(\frac{x-nh}{h}\right) - S\left(\frac{x-(n+2)h}{h}\right),$$

$$\phi_{n+1}(x) = S\left(\frac{x-(n+1)h}{h}\right) - 4S\left(\frac{x-(n+2)h}{h}\right)$$

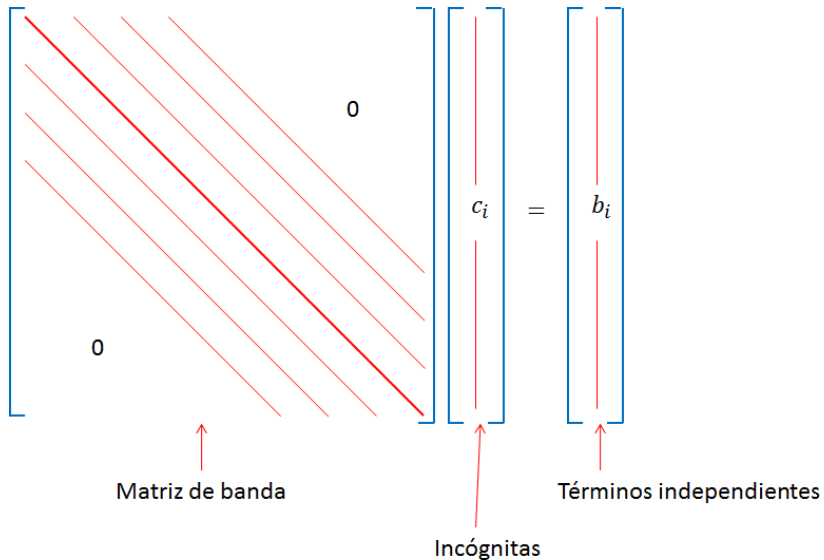
Las funciones base definidas cumplen las siguientes propiedades:

- Son linealmente independientes
- $\phi_i(x)$  es no nula como mucho en el intervalo  $[x_{i-2}, x_{i+2}]$
- $\phi'_i(x)$  es no nula como mucho en el intervalo  $[x_{i-2}, x_{i+2}]$
- $\phi_i(x)\phi_j(x) = 0$ , excepto en determinados valores de  $j$
- $\phi'_i(x)\phi'_j(x) = 0$ , excepto en determinados valores de  $j$

Las dos últimas propiedades permiten afirmar que la matriz  $A$  es una **matriz de bandas**, con ancho de banda igual a 3 y

$$a_{ij} = \int_0^1 (p(x)\phi'_i(x)\phi'_j(x) + q(x)\phi_i(x)\phi_j(x))dx, \quad i, j = 0, 1, \dots, n+1$$

$$b_i = \int_0^1 f(x)\phi_i(x)dx, \quad i = 0, 1, \dots, n+1$$



The diagram illustrates a linear system represented by a banded matrix equation. On the left, a large square matrix is shown with blue brackets, containing several parallel red diagonal lines. A thick red line runs from the top-left to the bottom-right. The number '0' is placed in the upper right and lower left corners of the matrix. A red arrow points from the label 'Matriz de banda' to the matrix. To the right of the matrix is a vertical column vector with blue brackets, containing a single red vertical line and labeled  $c_i$ . A red arrow points from the label 'Incógnitas' to this vector. An equals sign follows, then another vertical column vector with blue brackets, containing a single red vertical line and labeled  $b_i$ . A red arrow points from the label 'Términos independientes' to this vector.

$$\begin{bmatrix} & & & & \\ & & & & \\ & & & & \\ & & & & \\ & & & & \\ & & & & \\ & & & & \\ & & & & \\ & & & & \\ & & & & \end{bmatrix} \begin{bmatrix} c_i \\ \\ \\ \\ \\ \\ \\ \\ \\ \end{bmatrix} = \begin{bmatrix} b_i \\ \\ \\ \\ \\ \\ \\ \\ \\ \end{bmatrix}$$

Matriz de banda

Incógnitas

Términos independientes

## Ejemplo

$$-y'' + \pi^2 y = 2\pi^2 \sin(\pi x), \quad x \in [0, 1], \quad y(0) = y(1) = 0$$

**Solución exacta**  $y(x) = \sin(\pi x)$

Tomamos  $h_i = h = 0.1$  de forma que  $x_i = 0.1i$ ,  $i = 0, 1, 2, \dots, 10$

Calculamos las diferentes integrales que aparecen en el proceso mediante el comando **integral**

La **solución del sistema** así como el error exacto cometido, aparece en la siguiente tabla.

## Tabla de resultados

$i$	$x_i$	$c_i$	$\phi(x_i)$	$y(x_i)$	$ \phi(x_i) - y(x_i) $
0	0.0	0.5096e-5	0.000000	0.000000	-
1	0.1	0.209426	0.309016	0.309017	5.5e-7
2	0.2	0.398357	0.587785	0.587785	2.4e-7
3	0.3	0.548289	0.809017	0.809017	1.2e-7
4	0.4	0.644554	0.951057	0.951057	1.5e-7
5	0.5	0.677723	1.000000	1.000000	2.0e-7
6	0.6	0.644554	0.951057	0.951057	6.1e-7
7	0.7	0.548290	0.809018	0.809017	7.4e-7
8	0.8	0.398357	0.587787	0.587785	1.6e-6
9	0.9	0.209426	0.309018	0.309017	1.1e-6
10	1.0	0.7493e-5	0.000000	0.000000	-

Table: Resultados numéricos

Con las hipótesis presentadas se puede demostrar que

$$|\phi(x) - y(x)| = O(h^4), \quad \forall x \in [0, 1].$$



S LARSSON, V THOMÉE, *Partial differential equations with numerical methods*, Springer, Berlin, 2016.



T. MYINT-U, L. DEBNATH, *Partial differential equations for Scientist and engineers*, Ed. North-Holland, New York, 1987.



R. BURDEN, J. FAIRES, *Análisis Numérico*, Ed. Thompson, 2002.



S.C. CHAPRA, R.P. CANALE, *Métodos numméricos para ingenieros*, Ed. McGraw-Hill, México D.F., 2006.



L. LAPIDUS, G. PINDER, *Numerical solution of partial differential equations in science and engineering*, Ed. Wiley Interscience Publication, New York, 1999.



A. CORDERO, J.L. HUESO, E. MARTÍNEZ, J.R. TORREGROSA, *Problemas resueltos de métodos numéricos*, Ed. Thompson, 2006.



J. MATHEWS, K. FINK, *Métodos Numéricos con Matlab*, Ed. Prentice-Hall, 1999.